

Visje racunske metode – Naloga 1

Marcel Čampa

27. februar 2019

1 Metode

Uporabili smo tri metode za numericno resevanje parcialnih diferencialnih enacb.

1.1 Metoda koncnih diferenc

Najosnovnejša metoda, pri kateri odvede aproksimiramo z izrazitvijo iz Taylorjeve vrste. Pri diskretizaciji naravno vzamemo, da sta člena i in $i + 1$ za h narazen, kjer je h iz Taylorjevega razvoja, ki si ga lahko izberemo sami. Tako dobimo formulo za časovni korak

$$\psi_{m,n+1} = \psi_{m,n} + i\tau \left\{ \frac{1}{2h^2}(\psi_{m+1,n} + \psi_{m-1,n}) - 2\psi_{m,n} - V_m\psi_{m,n} \right\}. \quad (1)$$

1.2 Skoki s koncnim propagatorjem

Ce razvijemo propagator za končni korak τ v vrsto, dobimo

$$\psi_{m,n+1} = \left\{ \exp(-i\tau\bar{H})\psi \right\}_{m,n} = \sum_{k=0}^K \frac{(-i\tau)^k}{k!} (\bar{H}^k\psi)_{m,n}, \quad (2)$$

kjer si K izberemo poljubno. Seveda velja, da večji kot je K , manjša je napaka, ki je reda $\mathcal{O}(\tau^{K+1})$. Mi smo si izbrali $K = 10$.

1.3 Implicitna shema

Tokrat propagator aproksimiramo z

$$\exp(-i\tau\bar{H}) = \left(1 + i\frac{\tau}{2}\bar{H}\right)^{-1} \left(1 - i\frac{\tau}{2}\bar{H}\right).$$

Napaka aproksimacije je reda $\mathcal{O}(\tau^3)$. Ta aproksimacija je se posebej dobra zato, ker je tudi unitaren operator, zaradi česa bo ψ se vedno ostala pravilne oblike. Ce sedaj zapisemo časovni razvoj s koncnimi diferencami, dobimo implicitno enacbo

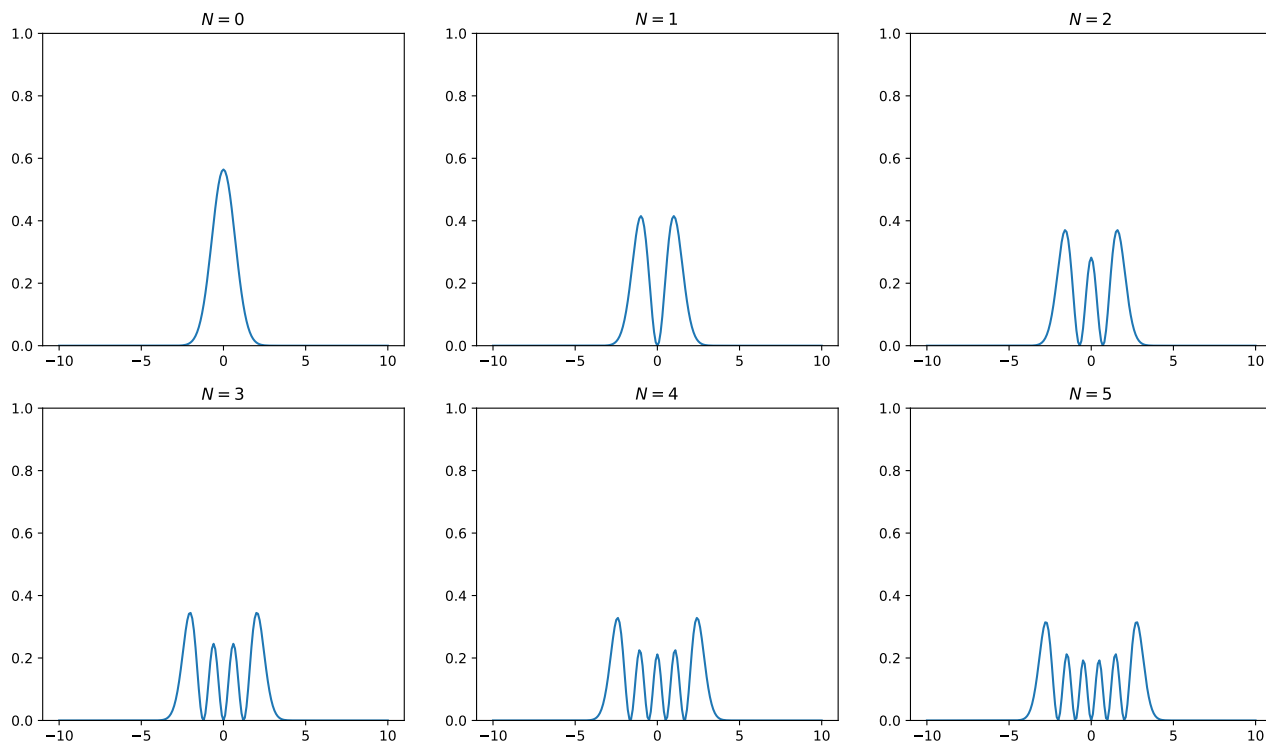
$$\begin{aligned} \psi_{m,n+1} - \frac{i\tau}{4} \left\{ \frac{1}{h^2}(\psi_{m+1,n+1} + \psi_{m-1,n+1} - 2\psi_{m,n+1}) - 2V_m\psi_{m,n+1} \right\} = \\ = \psi_{m,n} + \frac{i\tau}{4} \left\{ \frac{1}{h^2}(\psi_{m+1,n} + \psi_{m-1,n} - 2\psi_{m,n}) - 2V_m\psi_{m,n} \right\}, \end{aligned}$$

kar lahko zapisemo s tridiagonalno matricno enacbo

$$\begin{bmatrix} 1 + \frac{i\tau}{2h^2} + \frac{i\tau}{2}V_1 & -\frac{i\tau}{4h^2} & & & \\ -\frac{i\tau}{4h^2} & 1 + \frac{i\tau}{2h^2} + \frac{i\tau}{2}V_2 & -\frac{i\tau}{4h^2} & & \\ & & \ddots & \ddots & \\ & & & \ddots & 1 + \frac{i\tau}{2h^2} + \frac{i\tau}{2}V_{m-1} \\ & & & -\frac{i\tau}{4h^2} & 1 + \frac{i\tau}{2h^2} + \frac{i\tau}{2}V_m \end{bmatrix} \begin{bmatrix} \psi_{1,n+1} \\ \psi_{2,n+1} \\ \vdots \\ \psi_{m,n+1} \end{bmatrix} = \text{RHS}, \quad (3)$$

kjer je RHS enako desni strani v enacbi 1.

Evolution for $\lambda = 0$ is time independent



Slika 1: Valovna funkcija je pri $\lambda = 0$ konstantno enaka zacetni funkciji $\phi_N(x)$.

2 Naloge

Naloga 1

Obravnavali smo anharmonski oscilator

$$V(x) = \frac{1}{2}x^2 + \lambda x^4.$$

Za zacetno valovno funkcijo smo vzeli razlicne lastne funkcije harmonskega oscilatorja

$$\phi_N(x) = \frac{1}{\pi^{1/4} \sqrt{2^N N!}} H_N(x) \exp(-x^2/2),$$

kjer je $H_N(x)$ N -ti Hermitov polinom, ki ga v Pythonu izracunamo s pomocjo ze implementirane funkcije za Hermitovo vrsto `numpy.polynomial.hermite.hermval(x, c)`.

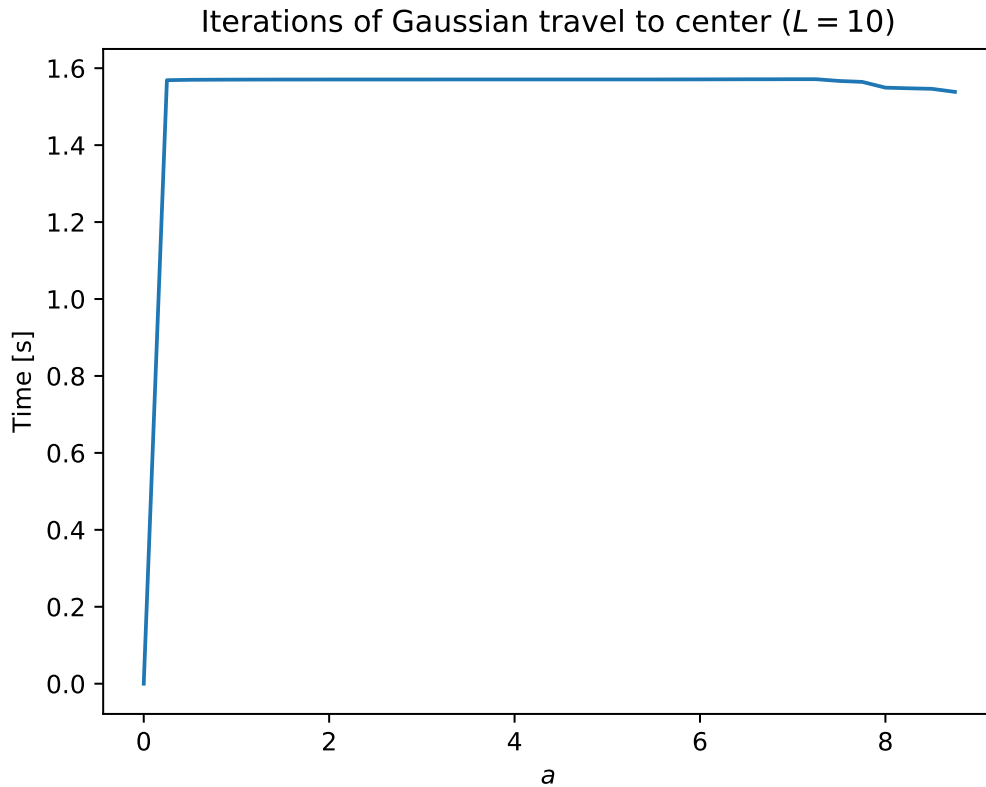
Implementirali smo vse tri zgoraj opisane metode, vendar dobro deluje le zadnja, ki je unitarna, pri vseh ostalih prej ali slej stvar zdivergira v neskoncno. Za $\lambda = 0$ dobimo tako, da se v casu stvar sploh ne razvija, kar sledi iz premisleka, da je zacetna funkcija $\phi_N(x)|_{\lambda=0}$ lastna funkcija operatorja \hat{H} , kar pomeni, da se ne spreminja s casom. Omenjeno stanje prikazuje slika 1.

Poleg tega smo naredili dve animaciji casovnega razvoja. Obe prikazujeta casovni razvoj pri $N = 0, 1, \dots, 5$ in $\lambda = 0, 0.25, 0.5$, pri eni na isti plot risemo razvoje z istim N (`naloga1_N.mp4`), pri drugi pa razvoj z isto λ (`naloga1_lambda.mp4`).

2.1 Naloga 2

Ta naloga je bila zelo podobna prejsnji, le da smo sedaj premaknili stvar za $a > 0$ v desno, torej smo za zacetno funkcijo vzeli $\phi_0(x - a)$. Vzeli smo $a = 5$, saj smo ves cas delali na intervalu $[-10, 10]$, veljati pa mora $L - a \gg 1$. Nato smo pocasi spreminjali λ , in sicer smo vzeli $\lambda \in \{0, 0.05, 0.1, 0.15, 0.2, 0.25, 0.3, 0.35, 0.4, 0.45, 0.5\}$. Stvar je pricakovano postajala vedno bolj kaoticna, casovno evolucijo pa prikazuje animacija `naloga2.mp4`.

Pri tej nalogi pa smo si dali malo duska. Vzeli smo zacetno stanje $\phi_0(x)$ in naredili dve odvisnosti:



Slika 2: Odvisnost potovanja vrha valovne funkcije do $x = 0$ v odvisnosti od a pri $L = 10$. Opazimo, da se pri $a = 7$, torej $L - a = 3$ začne dogajati napaka zaradi nezanemarljive ploscine pod Gaussovkco. $a = 0, 0.25, 0.50, 0.75, \dots, 8.50, 8.75$.

1. Čas, da pride maksimum valovne funkcije v $x = 0$ v odvisnosti od L , pri čemer smo vzeli $a = L/2$.
2. Čas, da pride maksimum valovne funkcije v $x = 0$ pri konstantnem $L = 10, 20$ v odvisnosti od a . Tu seveda zaradi pogoja $L - a \gg 1$ nismo računali za a „prevec“ blizu L .

Dobili smo točno take rezultate, ki smo jih pričakovali. Stvar je pri konstantnem L neodvisna od izbire a za $a > 0$, kar nam je jasno po preprostem premisleku, da večji kot je a , večji je potencial, torej posledično večja sila in hitrost potovanja vrha. To je lepo razvidno s slike 2.

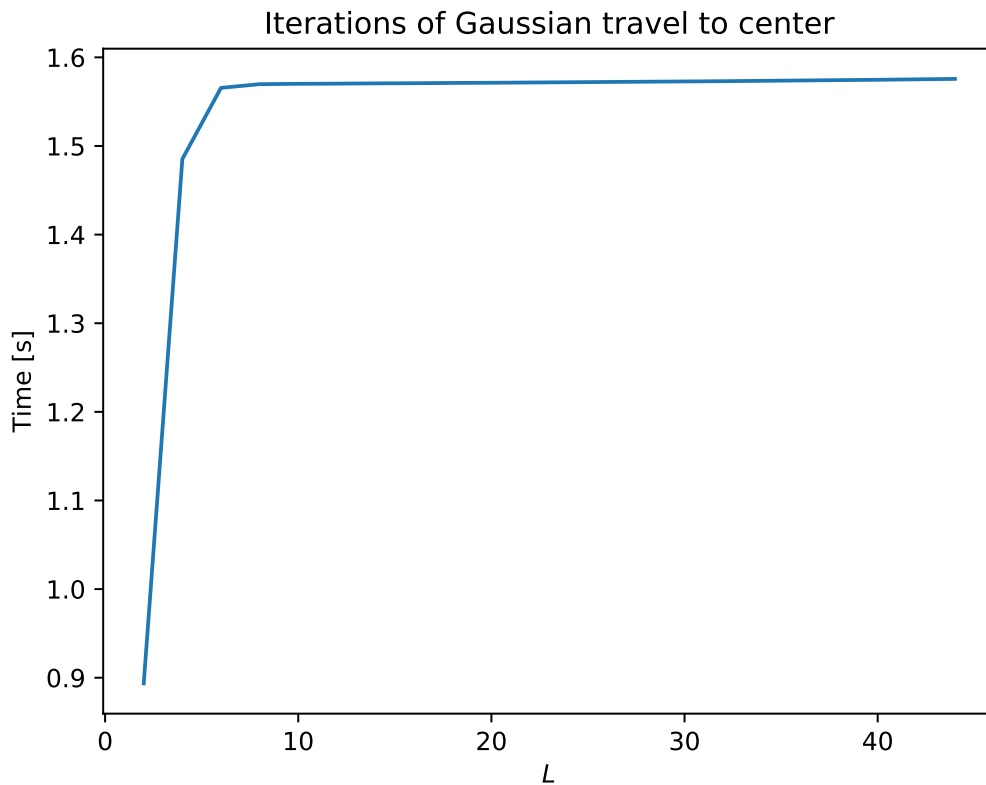
Ta in naslednji rezultat sta precej očitna tudi z matematičnega vidika, saj je

$$\int_{-\infty}^{-3} |\psi(x, t)|^2 dx + \int_3^{\infty} |\psi(x, t)|^2 dx < 0.003$$

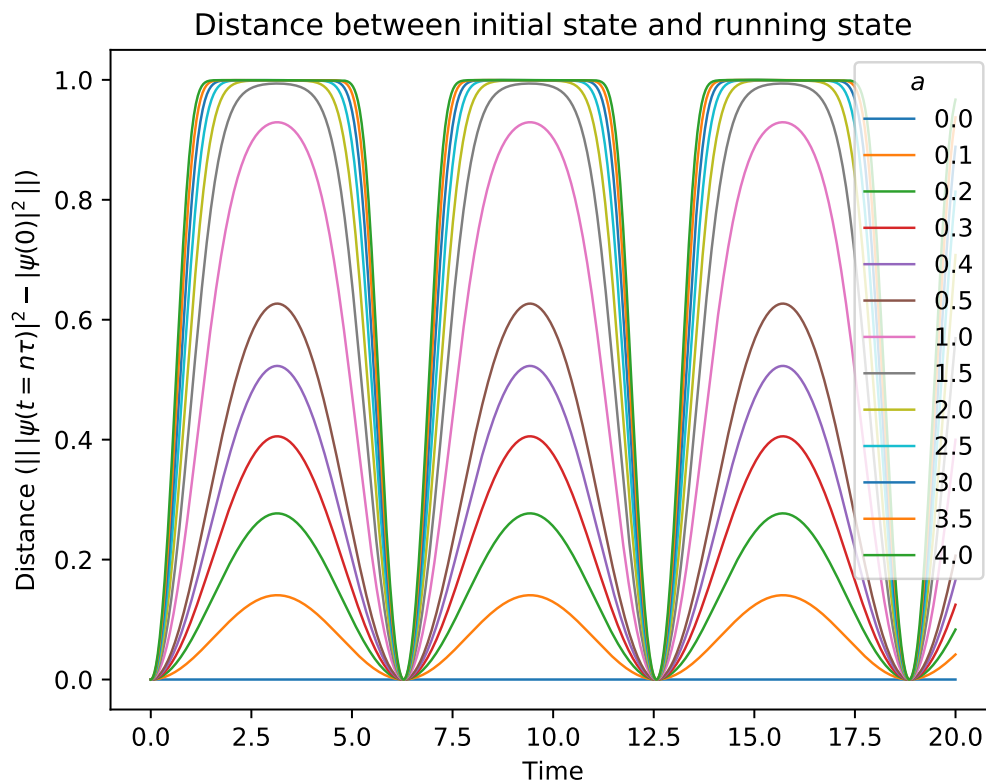
kar pomeni, da če vzamemo $L - a = 3$ ali pa $L - a = 100$, ne naredimo skoraj nobene razlike. To je razvidno s slike 3.

Če pa pogledamo animaciji `naloga2_L10_a1.mp4` in `naloga2_L10_a5.mp4` pa vidimo, da se napaka zaradi zanemarjanja Gaussovke izven $[-L, L]$ in diskretizacije intervala počasi nabira (pri $a = 5$ v bistvu kar precej hitro). Za boljso natančnost oziroma daljši čas do opazljive napake bi morali vzeti večji h in L , vendar bi na tako slabi masini, kot jo imam, izračun trajal celo večnost, zato tega nisem storili.

Naredili pa smo se graf razlike med tekoco valovno funkcijo in začetno, kjer se lepo vidi, da je perioda neodvisna od a za $L - a \gg 1$. Zasičenje okrog vrednosti $y = 1$ pa se zgodi zato, ker je prekrivanje med ploscino pod tekoco valovno funkcijo in začetno za dovolj velik a vmes skoraj nicelno. Graf oddaljenosti smo normirali, tako vrednost $y = 1$ pomeni, da valovni funkciji nimata skupne ploscine, ceprav je tam razlika ploscine dejansko 2 (1 za vsako). Graf je prikazan na sliki 4.



Slika 3: Odvisnost časa, da pride maksimum valovne funkcije do $x = 0$ v odvisnosti od L (in $a = L/2$). Rezultati so pričakovani, če ne upoštevamo nenatančnosti pri majhnih L .



Slika 4: Razlika med tekoco valovno funkcijo in zacetno v odvisnosti od a in iteracije. Zlahka vidimo, da je perioda neodvisna od a , kar smo že dvakrat premislili v tekstu.